

УДК 532.5.01

ВИХРЕВАЯ ПАРА СООСНЫХ ВИНТОВЫХ НИТЕЙ

В. Л. Окулов

Новосибирский национальный исследовательский государственный университет,
630090 Новосибирск, Россия

Датский технический университет, 2800 Люнбю, Дания

E-mail: vaok@dtu.dk

Проведено теоретическое исследование возможности существования вихревых пар соосно вращающихся винтовых нитей с циркуляцией в противоположных направлениях. Такие пары генерируются, например, вращающейся лопастью ротора при одинаковой интенсивности концевой и смещенной приосевой вихрей. Найдены условия, обеспечивающие равномерное вращение вихревой пары винтовых нитей, что необходимо для моделирования вихревых следов за лопастями роторов.

Ключевые слова: вихревая динамика, винтовой вихрь, вихревая пара, равновесное вращение.

DOI: 10.15372/PMTF20200304

Введение. В работе [1] С. В. Алексеенко, С. И. Шторк опубликовали важный экспериментальный результат, подтверждающий существование равновесного состояния для двух винтовых вихрей одинаковой интенсивности. В гидромеханике задача о равновесных состояниях вихрей является классической, однако в течение длительного времени рассматривался только ее плоский случай [2], при этом задача сводилась к определению равновесных конфигураций — вихревых многоугольников, в вершинах которых располагались точечные вихри с одинаковой по значению и по знаку интенсивностью циркуляции [3, 4]. Данная задача инициирована экспериментом, в котором наблюдались равновесные конфигурации для плавающих одинаковых магнитов. Эти конфигурации аналогичны равновесным многоугольникам точечных вихрей, изучение которых было необходимо для построения вихревой модели атома [5]. Подобно классическому эксперименту о равновесии магнитов, заложившему основы теории равновесных состояний точечных вихрей, экспериментальное исследование С. В. Алексеенко и С. И. Шторка [1] инициировало серию теоретических и численных работ по определению устойчивых равновесных конфигураций винтовых вихрей [6–9]. Теоретически исследована устойчивость равномерно движущегося вдоль своей оси вихревого мультиплета винтовых вихрей с одинаковой интенсивностью циркуляции, расположенных равномерно на цилиндрической поверхности и образующих в сечении правильный вихревой многоугольник [6]. Затем теоретически была подтверждена возможность существования равновесной конфигурации для двух несимметрично расположенных относительно общей центральной оси винтовых вихрей с одинаковой интенсивностью циркуляции и с различными радиусами (асимметричный вихревой винтовой

Работа выполнена в рамках Государственной программы поддержки научных исследований, проводимых под руководством ведущих ученых в российских вузах (соглашение № 075-15-2019-1923).

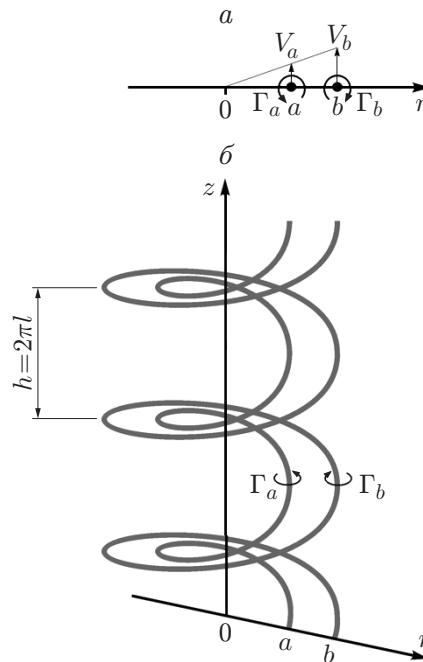


Рис. 1. Возможные конфигурации вихревой пары:
a — два точечных вихря, *b* — два винтовых вихря

дуплет) [9]. Существование такого асимметричного дуплета наряду с симметричным дуплетом, описанным в [1], экспериментально не подтверждено.

Следует отметить, что классическая постановка задач о точечных вихрях не ограничивается случаем одинаковой интенсивности циркуляции, представляет интерес случай вихрей с равной, но противоположной по знаку интенсивностью циркуляции. В классическом плоском случае два таких вихря называются вихревой парой, этот термин был введен и описан Г. Гельмгольцем раньше, чем задача о вихревых многоугольниках. В работе [10] изучены возможные движения набора прямолинейных вихревых нитей или двумерных точечных вихрей. В частности, из [10] следует только одно уникальное решение для точечных вихрей, когда вихревая пара с одинаковой по значению, но противоположной по знаку циркуляцией может двигаться только прямолинейно, а вращаться точечные вихри могут только при различной интенсивности циркуляции вокруг центра их тяжести, который расположен вне вихрей на соединяющей их линии. Однако генерация прямолинейных или точечных вихрей в потоках является редким явлением, обычно в инженерных и энергетических приложениях наблюдаются искривленные и винтообразные вихри [11]. В частности, пары вихрей генерируются в ближнем следе за лопастями пропеллеров или турбин и обладают идеальной винтовой формой [12], причем винтовой формой обладают оба вихря: внешний (концевой) и внутренний (втулочный), сходящие с концевой и втулочной кромок лопасти и имеющие разную по знаку интенсивность циркуляции. В случае одиночного вращающегося крыла или лопасти для модели лопасти НЕЖ [13] возможна ситуация, когда сходящие внешний и внутренний вихри в вихревой паре имеют интенсивность циркуляции, одинаковую по значению, но разную по знаку [14].

В случае точечного аналога вихревой пары [10] равномерное вращение возможно только для вихрей различной интенсивности (рис. 1, *a*), а вихри с одинаковой по значению, но противоположной по знаку интенсивностью циркуляции могут перемещаться только прямолинейно, что противоречит данным экспериментальной работы [15], согласно которым

с разных кромок крыла должны сходиться вихри, имеющие интенсивность, близкую по значению, но разную по знаку. В отличие от прямолинейных вихрей каждый винтовой вихрь способен также вращаться как целое [16]. Это дополнительное самоиндуцированное движение способно изменить динамическое поведение пары винтовых вихрей, для которой становится возможным решение в случае равномерного вращения обоих вихрей вокруг общей оси (рис. 1, б). В отличие от описанного выше асимметричного дуплета, полученного пока только теоретически [9], вихревая пара, в которой винтовые нити с противоположной по знаку интенсивностью циркуляции вращаются совместно одна внутри другой, пока наблюдалась только визуально в эксперименте [15]. Этот случай еще не исследован теоретически, поэтому целью настоящей работы является проверка возможности равномерного вращения винтовой вихревой пары с равным шагом и одинаковой, но противоположной по знаку интенсивностью циркуляции. Исследуются особенности трехмерной динамики тонких винтовых вихревых нитей в идеальных жидкостях, при этом помимо их взаимодействия рассматривается самоиндуцированное движение вихревых трубок в бинормальном направлении от их оси, что следует из уравнений движения трехмерной вихревой нити, полученных в начале XX в., когда была создана концепция самоиндуцированного движения вихревых нитей [13, 17]. В отличие от различных приближенных моделей настоящая работа основана на решении Кавады — Хардина [18], в котором были выделены особенности для бесконечной тонкой спиральной вихревой нити и которое применено для определения самоиндуцированных скоростей [16], суммируемых со скоростью индукции другой вихревой нити.

Уравнения движения винтовой вихревой пары. Для определения условий равновесия винтовой вихревой пары (см. рис. 1, б) рассмотрим два тонких спиральных вихря, расположенных на двух опорных цилиндрах с фиксированными радиусами a и b и одним общим геометрическим шагом величиной h (или $l = h/(2\pi)$). Это соответствует двум безразмерным шагам $\tau_a = l/a$, $\tau_b = l/b$ для каждой нити. Исследуем произвольные абсолютные значения интенсивности циркуляции вихрей Γ_a и Γ_b . Это имеет значение при рассмотрении предельного случая вращающейся пары прямолинейных вихрей ($h = \infty$) при $\Gamma_a/\Gamma_b = -b/a$. Для конечных значений $h = 2\pi l$ возможное равновесное вращение при $\Gamma_a = -\Gamma_b$ определяется вариацией параметров задачи. Далее исследуются эти предельные случаи, так как невозможно спрогнозировать, что при сворачивании вихрей в винтовую форму с уменьшением общего шага до некоторого конечного значения $h = h^*$ может возникнуть равновесное вращение при одинаковых абсолютных значениях интенсивности циркуляции $\Gamma_a = -\Gamma_b$. Также предположим, что оба вихря имеют круговые сечения с одинаковыми малыми радиусами $\varepsilon \ll h$, $\varepsilon \ll b$. Оба винтовых вихря в паре представляют собой суперпозицию спиральных вихревых нитей, расположенных в некоторый момент времени параллельно их осям, а завихренность распределена равномерно в поперечном сечении ядра [16].

Для исследования равновесных состояний рассматриваемой вращающейся пары винтовых вихрей (см. рис. 1, б) определим угловую скорость каждого вихря. Заметим, что в отличие от прямолинейных нитей Гельмгольца (или точечных вихрей), перемещения которых определяются скоростью, индуцированной только другим вихрем пары в точке положения расчетного вихря, в случае винтовых вихрей для каждого из них общая угловая скорость вращения вокруг их общего центра состоит из двух компонент:

$$\Omega^{(a)} = \Omega_{Ind}^{(a)} + \Omega_{Sind}^{(a)}, \quad \Omega^{(b)} = \Omega_{Ind}^{(b)} + \Omega_{Sind}^{(b)}, \quad (1)$$

где $\Omega_{Ind}^{(a)} = V_{Ind}^{(b)}(a)/a$, $\Omega_{Ind}^{(b)} = V_{Ind}^{(a)}(b)/b$ — угловые скорости в точках положения вихрей a или b , индуцированные другим вихрем из положения b или a соответственно (см. рис. 1); $\Omega_{Sind}^{(a)}$, $\Omega_{Sind}^{(b)}$ — скорость самоиндуцированного движения самого вихря [16], рассчитан-

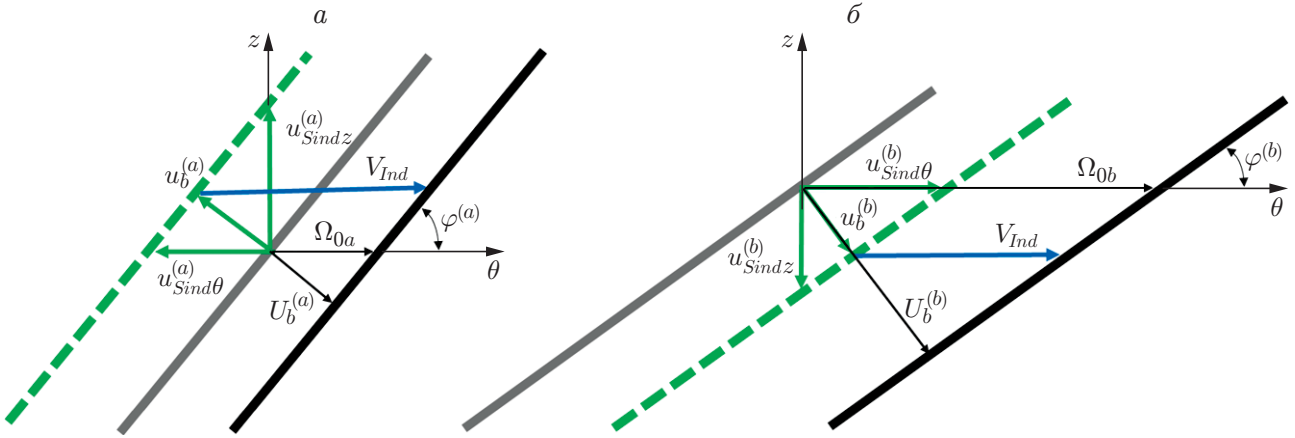


Рис. 2. Многоугольники скоростей для цилиндрических разверток внутренне-го (а) и внешнего (б) винтовых вихрей

ная в точке a или b . Следует также конкретизировать понятие угловых скоростей для винтовых вихрей, перемещающихся вдоль направления бинормали. Ранее эта задача не рассматривалась, что привело к ошибочным отождествлениям движения винтовых вихрей с перемещением жидких частиц [19]. Чтобы избежать неправильных интерпретаций, построим для каждого вихря из пары многоугольники скоростей в плоской цилиндрической развертке обоих опорных цилиндров (рис. 2).

Фиксируя сечение $z = 0$ в неподвижной полярной системе координат и пренебрегая влиянием конечного размера ядра другого вихря на расчетный вихрь, находим скорости окружного перемещения вихрей в этом фиксированном сечении. Они не совпадают с проекциями бинормальной скорости на тангенциальное направление вследствие дополнительного смещения сечения винтового вихря при его поступательном перемещении. Следуя работам [13, 16], из треугольников скоростей на рис. 2 для самоиндуцированной составляющей получаем

$$\Omega_{Sind}^{(a)} a = -u_b(a) / \sin \varphi^{(a)}, \quad \Omega_{Sind}^{(b)} b = -u_b(b) / \sin \varphi^{(b)}, \quad (2)$$

где $\sin \varphi^{(x)} = x / \sqrt{l^2 + x^2}$.

Определение бинормальной компоненты $u_b(x)$ самоиндуцированного движения представляет собой сложную задачу, решению которой посвящено большое количество работ (см. [13, 20–23] и др.). Для винтового вихря с малым сечением и постоянным распределением завихренности в ядре решение в наиболее полном виде получено в [16]. Используем общую форму записи выражения для самоиндуцируемой скорости обеих вихревых нитей

$$u_b(x) = \frac{\Gamma_x}{4\pi x} \left\{ \frac{x^2}{l^2 + x^2} \left[\ln \frac{x}{\varepsilon} - \frac{1}{4} - \frac{3}{2} \ln \frac{x l}{l^2 + x^2} + 2 + \frac{l^2}{x^2} - \frac{\sqrt{l^2 + x^2} (x^2 + 3l^2)}{l x^2} \right] + \right. \\ \left. + \frac{x^6 l^2}{(l^2 + x^2)^4} \left[\left(\frac{l^4}{x^4} - 3 \frac{l^2}{x^2} + \frac{3}{8} \right) \zeta^* - \frac{27}{8} + 2 \frac{l^4}{x^4} + \frac{x^2}{l^2} \right] + 4 \frac{x \sqrt{l^2 + x^2}}{l^2} I_1 \left(\frac{x}{l} \right) K_1' \left(\frac{x}{l} \right) \right\} + o(1) \quad (3)$$

при положении вихря в точке $x = a$ или $x = b$ и интенсивности циркуляции Γ_a , Γ_b соответственно (I_1 , K_1 — модифицированные функции Бесселя; штрих обозначает их производную; $\zeta^* = 1,20206$). В формуле (3) учтена поправка на конечный размер ядра винтового вихря с равномерным распределением завихренности в виде слагаемого $1/4$ в первых квадратных скобках [16].

Выражение для проекции окружной скорости $V_{Ind}^{(y)}(x)$, индуцированной в точке x вихрем, находящимся в точке y в сечении $z = 0$, с учетом коррекции на вертикальное перемещение запишем в виде

$$V_{Ind}^{(y)}(x) \equiv w_\chi(x; y) = u_\theta(x; y) - u_z(x; y)x/l, \quad (4)$$

где $u_z(x; y)$, $u_\theta(x; y)$ — осевая и азимутальная скорости в неподвижной полярной системе координат, индуцированные в точке x вихрем, находящимся в точке y при $\theta = 0$. Как и предполагалось, выражение для скорости (4) совпало с выражением для проекции скорости в винтовой системе координат при соответствующей переменной $\chi = \theta - z/l$ [6]. Пренебрегая влиянием конечного размера ядра на поле, индуцированное в точках соседнего вихря, выражение для этой “наведенной” на другой вихрь скорости запишем в виде [15]

$$w_\chi(x, y, \chi) = \frac{\Gamma}{2\pi} \left\{ \begin{array}{c} -x/l^2 \\ 1/x \end{array} \right\} + \frac{\Gamma y}{\pi l^2} \left(\frac{l}{x} + \frac{x}{l} \right) \operatorname{Re} \left\{ \begin{array}{c} H_1^{0,1}(x/l, y/l, \chi), \dots \quad x \leq y \\ H_1^{1,0}(y/l, x/l, \chi), \dots \quad y < x \end{array} \right\}. \quad (5)$$

Ряды каптейновского типа в (5)

$$H_M^{I,J}(x, y, \chi) = \sum_{n=1}^{\infty} m^M I_m^{(I)}\left(\frac{mx}{l}\right) K_m^{(J)}\left(\frac{my}{l}\right) e^{im\chi} \quad (6)$$

выражены через модифицированные функции Бесселя $I_m^{(0)}(mx/l)$, $K_m^{(0)}(my/l)$ и их производные $I_m^{(1)}(mx/l)$, $K_m^{(1)}(my/l)$ при $x \leq y$. Эти ряды можно свернуть в замкнутую конечную форму [16], что позволяет упростить расчет, особенно в предельных случаях, например при сближениях нитей.

Результаты исследования равномерного вращения винтовой вихревой пары. Для совместного равномерного вращения вихревой пары достаточно потребовать совпадения угловых скоростей обоих вихрей:

$$\Omega_0 \equiv \Omega^{(a)} = \Omega^{(b)}, \quad (7)$$

т. е. по формулам (2)–(5) необходимо найти полные окружные скорости перемещения вихрей в фиксированном сечении $z = 0$. Как следует из рис. 1, *a*, в случае вихрей с прямой осью ($h = \infty$) это возможно только при различных значениях интенсивности циркуляции, когда выполняется условие $\Gamma_a/\Gamma_b = -b/a$. Выясним, каким образом изменится движение винтовых вихрей с конечным значением $h = 2\pi l$ и возможно ли их равномерное вращение (7) при $\Gamma_a = -\Gamma_b$ при наличии дополнительной скорости самоиндуцированного движения, обусловленной искривлением вихревой нити. Можно предположить, что индуцируемые скорости меняются незначительно по сравнению со случаем точечных вихрей (см. рис. 1, *a*), так как они зависят в основном от расстояния между точками a и b и от модуля интенсивности их циркуляций Γ_a , Γ_b в большом диапазоне значений винтового шага h . Поэтому для упрощения на рис. 2 скорости приблизительно равны $V_{Ind} \approx V_{Ind}^{(b)}(a) \approx V_{Ind}^{(a)}(b)$, чтобы показать, что эта составляющая поля скоростей не может быстро уравновесить отношение b/a при выборе одинаковых по модулю значений интенсивности циркуляции. В то же время наличие самоиндуцированной составляющей, в случае если интенсивности циркуляции имеют разные знаки, приводит к вращению вихрей в противоположных направлениях, что может быть достаточным для равномерного вращения пары.

Для проверки данного предположения введем отношение интенсивностей циркуляции $\beta = \Gamma_b/\Gamma_a$. Варьируя отношение a/b , определяющее положение вихрей в паре, с учетом подстановки (1)–(6) для нескольких фиксированных значений винтового шага h найдем значения β , при которых выполняется равенство (7).

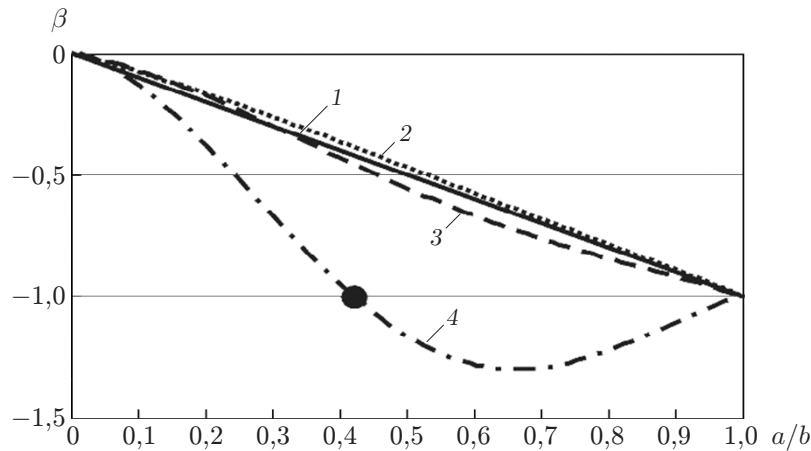


Рис. 3. Зависимость отношения циркуляции β от отношения a/b в случае равновесного вращения вихрей при $\varepsilon = 0,05$ и различных значениях винтового шага: 1 — $h = \infty$, 2 — $h = 5$, 3 — $h = 2$, 4 — $h = 1,5$; точка — решение с равными по модулю, но противоположными по знаку значениями интенсивности циркуляции

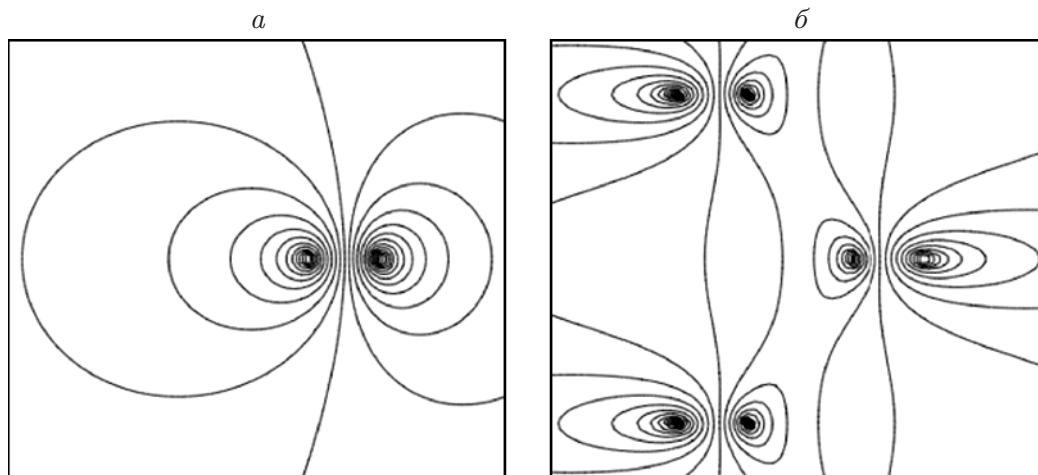


Рис. 4. Горизонтальное (*a*) и меридиональное (*б*) сечения трубок тока при движении винтовой вихревой пары, смещенной от центра вращения

На рис. 3 представлена зависимость отношения интенсивностей циркуляции β от отношения a/b . Линейная зависимость 1 соответствует случаю решения Гельмгольца для точечных вихрей при $\Gamma_b/\Gamma_a = -a/b$. Из этой зависимости следует, что не существует конечных расстояний между точками a и b , при которых интенсивности циркуляции равны по модулю. Тем не менее для винтового вихря такое решение с равными значениями интенсивности циркуляции, но с противоположными знаками существует (точка на рис. 3). На рис. 3 видно, что равновесное вращение возникает при значениях винтового шага $h < 2$ и фиксирует однозначное положение вихрей в паре ($a/b \approx 0,4$, $h = 1,5$). Этот результат позволяет объяснить существование равновесных конфигураций винтовых вихрей за вращающимися крыльями и лопастями, наблюдавшихся в немногочисленных расчетах и экспериментах [12, 15]. Это невозможно объяснить с помощью решения для совместно вращающейся пары точечных вихрей, так как в этом случае отсутствует самоиндуцированное движение, описываемое выражением (3). Примеры линий тока для винтовой вихревой пары, обозначенной точкой на рис. 3, приведены на рис. 4 в двух диаметральных сечениях.

На рис. 4,б в меридиональном сечении показаны сечения трубок тока при движении винтовой вихревой пары, смещенной от центра вращения на расстояние $a \approx 0,4$ при $b = 1$, на рис. 4,а показаны их горизонтальные сечения.

Закключение. Результаты проведенного теоретического исследования подтверждают существование равновесно вращающейся пары винтовых вихрей при одинаковой по значению и противоположной по знаку интенсивности циркуляции для определенных значений винтового шага. Существование таких равновесных пар винтовых вихрей имеет большое значение для дальнейшего развития вихревой динамики, а также при решении прикладных задач и проектировании формы лопастей турбомашин с предсказуемым развитием роторных вихревых следов.

ЛИТЕРАТУРА

1. **Alekseenko S. V., Shtork S. I.** Experimental observation of vortex filament interaction // JETP Lett. 1994. V. 59. P. 775–780.
2. **Aref H., Kadtke J. B., Zawadzki I., et al.** Point vortex dynamics: recent results and open problems // Fluid Dynamic Res. 1988. V. 3. P. 63–74.
3. **Thomson J. J.** A treatise on the motion of vortex rings. L.: Macmillan, 1883.
4. **Havelock T. H.** The stability of motion of rectilinear vortices in ring formation // Philos. Mag. 1931. N 11. P. 617–633.
5. **Thomson W. (Lord Kelvin).** Floating magnets (illustrating vortex-systems) // Nature. 1878. N 18. P. 13–14.
6. **Okulov V. L.** On the stability of multiple helical vortices // J. Fluid Mech. 2004. V. 521. P. 319–342. DOI: 10.1017/s0022112004001934.
7. **Delbende I., Piton B., Rossi M.** Merging of two helical vortices // Europ. J. Mech. B. Fluids. 2015. V. 49. P. 363–372.
8. **Selçuk C., Delbende I., Rossi M.** Helical vortices: Quasiequilibrium states and their time evolution // Phys. Rev. Fluids. 2017. N 2. 084701.
9. **Okulov V. L.** An acentric rotation of two helical vortices of the same circulations // Regular Chaotic Dynamics. 2016. V. 21, N 3. P. 267–273.
10. **von Helmholtz H.** Über integrale der hydrodynamischen Gleichungen, welche den Wirbelbewegungen entsprechen // J. Reine Angew. Math. 1858. V. 55. P. 25–55.
11. **Alekseenko S. V.** Theory of concentrated vortices: An introduction / S. V. Alekseenko, P. A. Kuibin, V. L. Okulov. Berlin: Springer-Verlag, 2007.
12. **Salunkhe S., El Fajri O., Bhushan S., et al.** Validation of tidal stream turbine wake predictions and analysis of wake recovery mechanism // J. Marine Sci. Engng. 2019. V. 7. P. 362–386.
13. **Жуковский Н. Е.** Вихревая теория гребного винта I // Тр. Отд-ния физ. наук О-ва любителей естествознания. 1912. Т. 16, вып. 14. С. 1–47.
14. **Okulov V. L., Sørensen J. N., Wood D. H.** The rotor theories by professor Joukowsky: Vortex theories // Progr. Aerospace Sci. 2015. V. 73. P. 19–46. DOI: 10.1016/j.paerosci.2014.10.002.
15. **Quaranta H. U., Bolnot H., Leweke T.** Long-wave instability of a helical vortex // J. Fluid Mech. 2015. V. 780. P. 687–716.
16. **Okulov V. L., Sørensen J. N.** The self-induced motion of a helical vortex // J. Fluid Mech. 2020. V. 883. A-5.
17. **Ricca R. L.** The contributions of Da Rios and Levi-Civita to asymptotic potential theory and vortex filament dynamics // Fluid Dynamics Res. 1996. V. 18. P. 245–268.

18. **Fukumoto Y., Okulov V. L., Wood D. H.** The contribution of Kawada to the analytical solution for the velocity induced by a helical vortex filament // *Appl. Mech. Rev.* 2015. V. 67, N 6. 060801. DOI: 10.1115/1.4031964.
19. **Окулов В. Л., Гешева Е. С., Куйбин П. А. и др.** Различие в перемещении винтового вихря и движении частиц вдоль его оси // *Теплофизика и аэромеханика.* 2020. Т. 27, № 3. (В печати).
20. **Saffman P. G.** *Vortex dynamics.* Cambridge: Cambridge Univ. Press, 1992.
21. **Ricca R. L.** The effect of torsion on the motion of a helical vortex filament // *J. Fluid Mech.* 1994. V. 273. P. 241–259.
22. **Boersma J., Wood D. H.** On the self-induced motion of a helical vortex // *J. Fluid Mech.* 1999. V. 384. P. 263–280.
23. **Kuibin P. A., Okulov V. L.** Self-induced motion and asymptotic expansion of the velocity field in the vicinity of a helical vortex filament // *Phys. Fluids.* 1998. V. 10. P. 607–614.

*Поступила в редакцию 24/III 2020 г.,
после доработки — 24/III 2020 г.
Принята к публикации 30/III 2020 г.*
